

АБРАЗИВ ЕЙИЛИШ

Тошқўзиева З.Э
Фарғона политехника институти

АННОТАЦИЯ

Ажралувчи штамплар йўналтирувчи элементлари прецизин жуфтлари ишининг бузилиши ва эскиришининг асосий сабаби абразив ейилиши аниқланди. Бу маълумотлар асосида штамп қолиларига ўзгартериш киритиш мухимлиги алоҳида аҳамият касб этади.

Штамп пн лари ейилишнинг турли кўринишда:

толиқиши тирқишлири юзага келиши ва металнинг майдага зарралари ажралиши билан боғлиқ емирилиши аниқланади. Бу ишқаланувчи деталлар юза қатламлари парчаланишининг асосий сабаблари ўрганиш учун хизмат қиласди.

Калит сўзлар: Абразив, пн, штамп, пресс, ейилиш, эмперик момент,

Қисқартмалар: МЧЖ- масуляти чекланган жамият, АЖ- акциядорлик жамияти,

Абразив сақловчи аралашмаларни пресслаш учун штамп пн лари асосан абразив ейилиш шароитида ишлайди.

Прессланаётган аралашманинг абразивли хоссаларини аниқловчи қуйидаги факторлар мавжуд:

- аралашма таркибидаги абразив зарраларни қаттиқлиги ва механик мустаҳкамлиги;
- заррачалар шакли;
- аралашма таркибидаги доналари катта, пластик бўлмаган материаллар концентрацияси;
- намлиги.

Штамп пн ларини эскириш тезлигига пресслашда зичланадиган массанинг ён ва олд пн ларига тўқнашув босими катта таъсир қўрсатади.

Саноатда ишлаб чиқариш шароитида пн ларни алмаштиришда технологик критерияга амал қилинади, яъни зичланган хом-ашё подкладкаларининг ён юза тирналиши ва ёриклар ҳосил бўлиши билан ифодаланади. Рухсат этилган ейилиш катталиги 0,8...1,0 мм ни ташкил этади.



1-расм. Штампнинг пресс дастгохига ўрнатилган ҳолати

Пн ларни ейилишига кўп сонли факторлар таъсир этади, уларни қўпчилиги тасодифий факторлардир. Шу сабабли ейилган юза ҳолатини объектив тасвирини қуриш учун тадқиқот натижаларига статистик ишлов бериш усулидан фойдаланилган. Штамп пн лари юзасида ейилиш катталиги характеристикаси ва тақсимланишини текшириш, пн ларни ейилиш қонуниятига асосан пресслаш меъёри ва шароитига боғлиқ эканлигини аниқлашга имкон беради ҳамда буюмларни пресслаш йўли билан тайёрлаш учун пн ларни мустаҳкамлашни самарали технологиясини ишлаб чиқиш зарур.

“Ўзбекистон темир йўллари” АЖ тасарруфидаги “Фарғона механика заводи” МЧЖ да сифатли конструкцион пўлат 20 материалидан фойдаланилди. Даствор нитроцементитлаш, сўнг чиниқтириш жараёнидан ўтказилиб, борлаш йўли билан мустаҳкамланган пўлат пн лар тайёрлаб олинди. Пн комплектлари керамик тўшама (подкладка)лар ишлаб чиқарувчи пресс қолипга ўрнатилган. Ейилиш катталигини 20 донадан иборат бўлиб, олд ва ён пн лар учун 10 донадан иборат ўлчаш ишлари амалга оширилди (1-расм). Штампларда тайёрланган керамик тўшама (подкладка) лар миқдори 1400-1500 донани ташкил этган. Пн лар ейилишини ўлчаш учун фойдаланилган ўлчов асбоб ва воситалари: катта назорат плитаси, кичик назорат плитаси, индикаторли устун ва микрометрик индикатор шкала бўлими 0,001 мм. Ёрдамичи асбоблар сифатида чизғич, штангенциркул ва чегарали узунлик ўлчагичи ишлатилган [1].

Пн лар ейилишини текшириш учун маҳсус стенд ишлаб чиқилган, унинг схемаси илова Е да келтирилган (2-расм). Кичик назорат плитаси, катта назорат плитаси устига қўйилган, унга индикаторли устун монтаж қилинган. Назорат қилинаётган плита кичик назорат плитасига жойлаштирилган. Индикаторни ростлаш қуйидаги равишда бажарилган: Ан индикатор узунлик ўлчовли

тўплами ёрдамида маълум ўлчамда А назорат қилинаётган пн қалинлигидан бирмунча кичкина оралиқда ўрнатилади [3].

Шундай қилиб деталнинг ҳақиқий қалинлиги А емирилган участкада ва ҳар бир нуқтада ўлчанган катталик пн юзасида кўриб чиқилаётган нуқтада абсолют ейилиш катталиги ҳисобланади. Пн нинг ички юзасида 8 та кўндаланг қирқим белгиланган ва 6 та узунасига, бир текисда барча пн лар бўйича жойлаштирилган. Ейилиш катталигини пн ишчи юзасининг 48 нуқтасида ўлчанади (белгилаш схемаси 2-расмда ён томони учун, 3-расмда олд томони учун).

Пн ларда нуқталарни чизгич ва штангенциркуль ёрдамида белгиланган. Ўлчаш жараёнида кўндаланг йўналишда пн ни ўзи силжиган (ўлчам объекти), узунасига эса катта назорат плитаси бўйича устун индикатори билан биргалиқда силжиган. Бу пн барча юзаси бўйича ўлчаш имконини яратган.

Пн тайёрлашда қўйилган хатоликларга боғлиқ ҳолда унинг қалинлиги доимий эмас, шу сабабли ростлаш катталиги A_x ни ҳақиқий катталик А га боғлиқ ҳолда коррекциялашга тўғри келган. Ушбу ишда A_x катталик қиймати қилиб қўйидагилар қабул қилинган: $10\pm0,05$ мм.

Ейилиш катталиги қўйидаги равишда аниқланган. А ва A_x орасидаги фарқ ҳисобланган $A - A_x = \Delta A$, сўнг **ΔAф назорат қилинаётган ейилиш майдонининг i-нуқтасида ўлчанган ҳақиқий ўлчам Аф орасида кўрилган ўлчам A_x орасидаги фарқ ҳисобланган**, яъни $A - A_x = \Delta A$. Бунда ейилиш катталиги **U** ишчи юзанинг ҳар қандай нуқтасида қўйидаги кўринишда ифодаланиши мумкин.

$$U = \Delta A - \Delta A_{\text{ф}}. \quad (1)$$

Ростлаш катталиги A_x ўзгарувчан, бу вактда ҳақиқий ўлчамларни Аф ни кўрилган ҳар бир ўлчам қиймати A_x учун ҳисоб ҳажмини камайтириш ўртачасини олиш зарур. Масалан координаталари III (4) бўлган назорат қилинаётган пн нуқтаси учун (расм 4.8) **A_н=10** мм бўлганда ҳосил қиласиз.

$$\Delta A_{\phi}^{\text{ўрт.}} = \frac{\sum_{i=1}^{n=20} \Delta A_{\phi i}}{20}, \quad (2)$$

бу ерда **n=20** рақами ўлчамлари 10 мм бўлган пн лар сони (20та назорат қилинаётган пн лар орасидан);

$\Delta A_{\phi}^{\text{ўрт.}}$ - ейилишнинг ўртача қиймати, мкм.

$$\Delta A_{\phi}^{\text{ср}} = (150 + 675 + 876 + 338 + 300 + 311 + 173 + 969 + 177 + 738 + 985 + 187 + 1611 + 417 + 541 + 587 + 642 + 867 + 598 + 681 + 388 + 518 + 1059 + 365 + 73 + 113 + 901)/20 = 503 \text{ мкм.}$$

Шундай қилиб, ейилиш назорат қилинаётган майдон барча нүкталарда ўлчанганди натижаларни ва Аң нинг барча қийматлари учун ўртача қиймати аниқлаш олиб борилган.

Ҳар бир қўйилган ўлчам Аң учун (10,01; 10,03; 10,05; 10,07 мм) ΔA ўлчам ҳисоблаб чиқилган. Бунинг учун емирилмаган четки участкадан пн дастлабки ҳолатини аниқлаш учун текислик ўтказилган (пн тайёрлашда олинган).

Масалан $A_x=10,05$ мм ли пн учун ΔA қиймати V(l) қирқимда қиймати 611, 576, 625, 618, 576 ва 575 мкм га тенг. И (чекка) қирқимда эса ΔA қиймати 532, 583, 643, 665, 653, 597 мкм га тенг бўлганда $\Delta A=640$ мкм ҳосил бўлади.

Шундай қилиб ΔA қиймати пн лар бошқа гурухлари учун ҳар бир қурилган ўлчам учун ҳисоблаб чиқилган.

Сўнг ейилиш катталиги U ҳар бир қўрилган ўлчам учун A_x алоҳида, масалан $A_h=10,05$ мм пн лар учун

$$\Delta A_1 = 615 \text{ мкм};$$

$$\Delta A_{11} = 640 \text{ мкм};$$

$$\Delta A_{\Phi} = 470 \text{ мкм} - I(5) \text{ координата нүкталари учун};$$

Бунда бешинчи нүкта учун I қирқимда (4.8-расм)

$$\Delta A_5 = 5 \cdot \frac{\Delta A_{11} - \Delta A_1}{11} + \Delta A_1. \quad (3)$$

$$\Delta A_5 = 5 \cdot \frac{640 - 615}{11} + 615 = 627,5 \text{ мкм}.$$

Ейилиш катталиги $U(4.5)$ билан мос равишда ташкил этади.

$$U=627,5 - 470=157,5 \text{ мкм}.$$

Ейилишни барча олинган катталиклари Аң катталигига боғлиқ жадвал (Е илова) га киритилган.

Йигирмата пн учун ейилишни ўртача катталиги аниқлашнинг охирги операцияси A_x турли нүкталари учун олинган ейилиш қийматларини ўртасини аниқлашдир.

$$U^{\Sigma} = \frac{\sum_{i=1}^n U_i}{n}, \quad (4)$$

бунда U_i – i-гурух ишчи юзасидаги ҳар бир назорат қилинадиган нүктасидаги ейилиш; n – пн гурухлари сони.

Масалан, 4 (II) координатали нүкта учун

$$U^{\Sigma} = \frac{450 + 400 + 530 + 672 + 274}{5} = 475 \text{ мкм}.$$

Хисоблаш натижалари 4.5-жадвалга киритилган. Шунга ўхшаш ҳисоб штамп пн лари олд томони учун бажарилган, уларда ейилиш майдонида нуқталар сони 36 тани ташкил этган.

1-жадвал

Штамп ён томон пн лари юзасининг ейилиш катталиги, мкм;

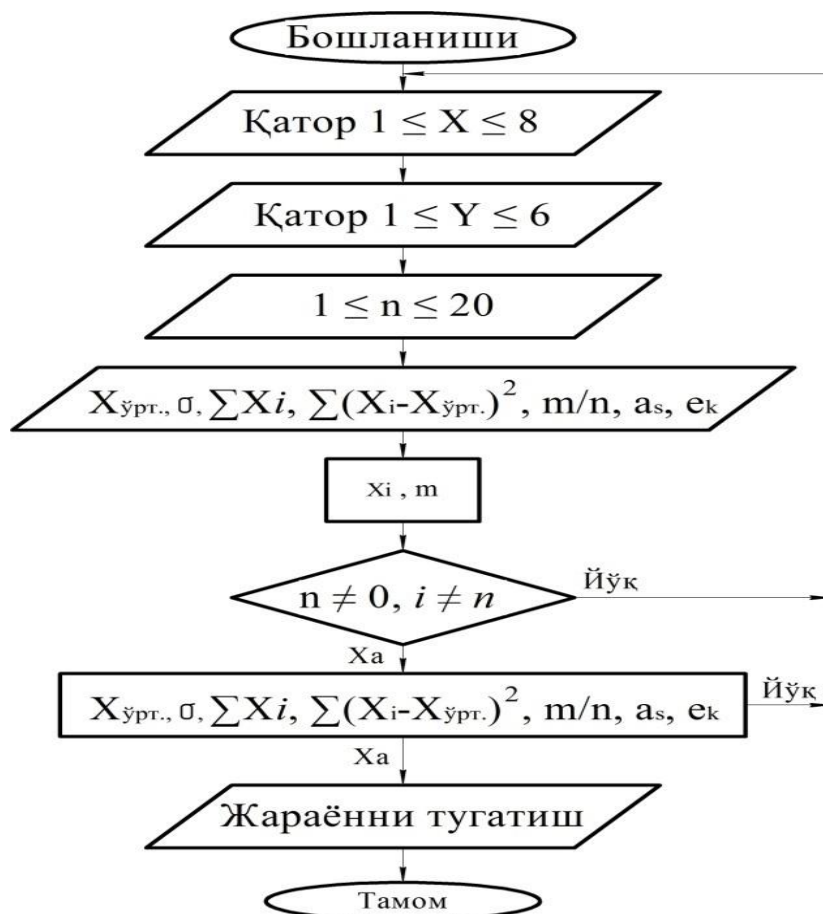
Ён томон пн ларининг ўртача ейилиши, мкм								
№	1	2	3	4	5	6	7	8
I	36	127	142	163	108	65	44	58
II	17	133	155	186	124	89	68	66
III	26	244	145	174	145	97	88	82
IV	11	178	174	131	164	67	114	64
V	24	184	189	201	177	68	74	54
VI	16	104	104	152	87	89	66	24

2-жадвал

Штамп олд томон пн лари юзасининг ейилиш катталиги, мкм;

Олд томон пн ларининг ўртача ейилиши, мкм						
№	1	2	3	4	5	6
I	69	74	40	61	52	33
II	41	61	119	44	51	49
III	39	47	124	68	74	81
IV	19	55	107	78	68	36
V	18	78	116	84	64	18
VI	65	87	81	63	41	19

Пн лар ейилиш катталигини ўлчаш натижалари статистик ишлов бериш натижасида пн қирқимлари бўйича ейилиш катталигини тақсимланиш назарий қонунини аниқлаш учун ейилишни тарқалиш эмперик эгри чизигини қуриш зарур ва назарий тарқалишини эмперикка яқинлик даражасини аниқлаш лозим. Бу мақсадда координаталари 3(II); 3(V); 5(II); 5(V)нуқталарда ейилишни тўрт қатор қиймати танлаб олинган.



4.10-расм. MathCalc дастурининг бошқариш алгоритми блок-схемаси

Хисоб жадвал кўринишида келтирилган E1, E4, E7 ва E10 иловаларда келтирилган. У ерда барча тўрт қатор учун ейилишни тақсимланиш эгри чизиги частоталар полигони орқали ифодаланган (E3, E4, E5, E6-расмлар). **σ-** дан ташқари тақсимланиш характерловчи шундай кўрсатгич: a_s -ассиметрия ўлчами ва e_k - экспесс кўрсатгичишида баён этилган усулда хисобланган [8]. Уларни тўлиқ кўриб чиқамиз.

Ассиметрия ўлчами a_s - қиймат қўйидаги формула бўйича хисобланади:

$$a_s = \frac{m_3}{\sigma_T^3}, \quad (5)$$

бу ерда m_3 – учинчи тартибли марказий эмпирик момент [52].

$$m_3 = M'_3 - 3 \cdot M'_2 \cdot M'_1 + 2 \cdot (M'_1)^3; \quad (6)$$

$$M'_1 = \frac{\sum n_i u_i}{n}; M'_2 = \frac{\sum n_i u_i^2}{n}; M'_3 = \frac{\sum n_i u_i^3}{n};$$

n_i – барча йигиндилар сони,

$$u_i \text{ – шартли варианта, } u_i = \frac{n_i - C}{h};$$

C – энг катта частотали варианта, ($C=0$)

h – иккита қўшни варианта айирмаси

Экспесс кўрсатгичи e_k - ушбу кўрсатгич кўриб чиқилаётган қаторнинг

тақсимлаш маркази олдида алоҳида қийматлар концентрацияси бўйича меъёрий кўрсатгичдан фарқ қилишини акс эттиради.

Ушбу кўрсатгич қуидаги формула билан аниқланади.

$$e_k = \frac{m_4}{\sigma_T^4} - 3, \quad (7)$$

бунда m_4 – тўртингчи тартибли марказий эмпирик момент [9].

$$m_4 = M'_4 - 4 \cdot M'_3 \cdot M'_1 + 6 \cdot M'_2 \cdot (M'_1)^2 - 3 \cdot (M'_1)^4; \quad (8)$$

$$M'_1 = \frac{\sum n_i u_i}{n}; M'_2 = \frac{\sum n_i u_i^2}{n}; M'_3 = \frac{\sum n_i u_i^3}{n}; M'_4 = \frac{\sum n_i u_i^4}{n};$$

n_i – барча йигиндилар сони,

u_i – шартли варианта, $u_i = \frac{x_i - C}{h}$;

C – энг катта частотали варианта, ($C=0$),

h – иккита қўшни варианта айирмаси.

Агар $e_k > 3$ бўлса эксцесс ижобий (эгри чизик чўққиси меъёрдан баланд) ва аксинча $e_k < 3$ бўлса бунда тақсимланиш эгри чизиги чўққиси меъёрдан пастда жойлашган бўлади ва эксцесс салбий бўлади. Эксцесс йўқ бўлса $e_k = 3$ қийматга эга бўлади.

Координаталари 5(V) нуқта учун $e_k = \frac{0,587}{0,0115} - 3 = 7$

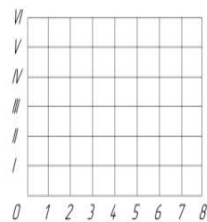
Қолган a_s ва e_k қийматлари E1, E4, E7, E10 жадвалларда келтирилган. $e_k > 0$ бўлган эксцессининг барча қийматлари, яъни тақсимлаш эгри чизиклари частоталар полигонида ижобий эксцесс кузатилади (E3 – E6-расмлар) [5].

Ассимметрия ўлчамига a_s – **келсак, бунда координаталари** 3(II) ва 3(V) нуқталар учун иккита салбий қиймат ва иккита 5(II) и 5(V) координата нуқталари учун ижобий қиймат олинган. Бу салбий ёки ижобий ассиметриялиги ҳақида маълумот беради. Ижобий ассимметрияда ўлчамлар ўрта арифметик қиймати модадан ўнгроқда жойлашган, салбийда эса чапроқда жойлашади [9].

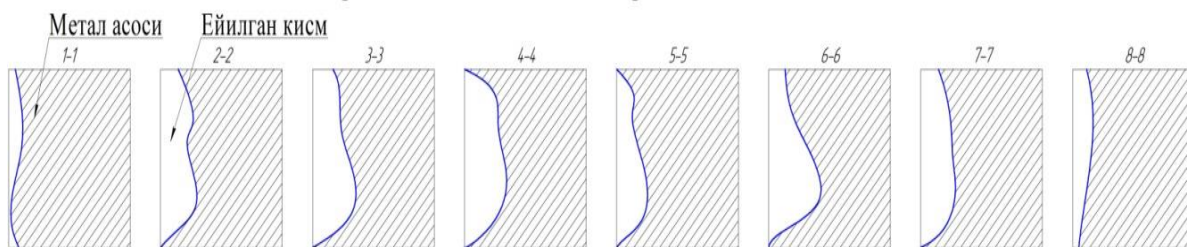
Ейилиш турли қаторлардаги натижаларни горизонтал ва вертикал бўйича таққослаш масаласи жуда катта аҳамиятга эга, чунки у қаторлар орасида, натижаларда қандайдир тасодифий ходисалар борлигини аниқлашга имкон беради. Масалан, пресслаш жараённида зичлашни турли босқичларида турли катталиқдаги босим ёки зичлашда пуансоннинг турли тезлик билан харакатланишига боғлиқ ҳолда амалга оширилади [10].

Бунинг учун ейилиш қаторлари бўйича ўртача қийматларни таққослаш усулидан фойдаланилади.

Ейилиш ўлчаш майдони

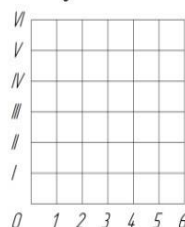


Вертикаль қадами - 0,16 мм. Горизонтал қадами - 10 мм

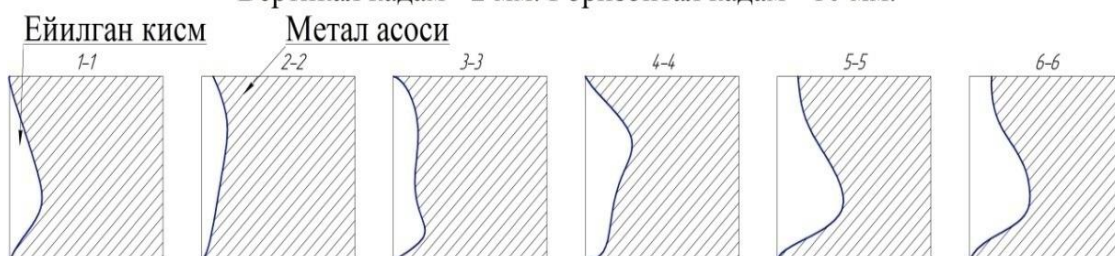


4.11-расм. Ён пн лар ейилган юзатопографияси

Ейилиш ўлчаш майдони



Вертикаль қадам - 2 мм. Горизонтал қадам - 10 мм.



4.12-расм. Олд пн лар ейилган юза топографияси

Қаторлар бўйича ейилишни ўртача қийматини таққослаш таҳлили кўрсатишича икки горизонтал қаторлар орасида (координаталари 3(II) ва 5(II); 3(V) ва 5(V)) қандайдир аҳамиятга молик бўлмаган тасодифий хатоликлар таъсири келтириб чиқарган бўлиши мумкин. Вертикаль қатордаги фарқ координаталари 3(II) ва 3(V) бўлган нуқтада пресслаш жараёнини характерлайдиган аниқ қонуният асосида келиб чиққан. Шундай қилиб ейилиш характери пн лар горизонтал қатори бўйича ўхшаш, вертикаль қаторлар бўйича турли ташки факторлар таъсиридан келиб чиққан сезиларли равишдаги фарқ мавжуд [45, 104].

Курилган топографиялар таҳлили кўрсатишича штамп ён пн лар ейилиши олд пн ларга нисбатан деярли икки баробар узунроқ (4.10-расм). Корхона технологияси бўйича нитроцементитлангандан сўнг чинкитириш (бўшатиш) йўли билан ишлаб чиқарилган штамп пн лари ейилиш юзасини юқоридаги усулда топографиясини таҳлил қилинганда

ейилишга чидамлилиги амалда 3 мартаға пасайди. Бир сменада ишлаб чиқарилған керамик подкладка миқдори пн лар алмаштирилмаганда 20 минг донани ташкил этди. Бундан сүңг ишлаб чиқарилған маҳсулотда прессланыёттан керамик түшама (подкладка) ларда дефектлар ҳосил бўлиш сабаби, пн ларни алмаштиришга зарурат пайдо бўлганлигига зарурат сезилганлигидир [5].

Шундай қилиб ўлчанган натижаларни статик ишлов беришни Калмогоров критерияси бўйича баҳолаш кўрсатишича штамп пўлат пн ларининг ейилиш катталигини тақсимланиши меъёрий тақсимланиш қонунига бўйсунади [6].

Ейилиш юзасининг топографияси таҳлили асосида шундай хуносага келиш мумкин: пн лар ейилиши бир текисда бўлмаслиги ва рухсат этилган ейилиш чегарасини аниқлаш, маҳсулотга қўйилган ўлчам талабларига боғлиқ ҳолда асосий ўлчамдан ташқи тарафга 0,3 дан 0,5 мм гачани ташкил этади.

ХУЛОСАЛАР

1. Абразив заррачалари мавзуд аралашмаларни зичлашда ҳосил бўладиган зўриқиши аниқлашга имкон берадиган назарий тадқиқотлар бажарилди.
2. Абразив заррачалари мавжуд аралашмаларни пресслаш йўли билан зичлашда вертикал, горизонтал ва тўқнашув зўриқишилар аналитик боғлиқликлари олинди.
3. Пуансон ҳаракатида абразив заррачаларнинг штамп пластиналари ён ва олд томонларига босимни тарқалиши ўрганилди.
4. Штамп пластиналаридағи босим катталигига, қолипга аралашма солиниш баландлигини ростлашдаги ўзгариши аниқланди.
5. Штамп пластиналари ейилиш бардошлигини ошириш борасида диффузияли борлаш технологияси жараёни назарий тадқиқоти ва технологик факторларга боғлиқ бўлган математик модели ишлаб чиқилди. Бу бор концентрацияси ва диффузия вақтига боғлиқ ҳолда мустаҳкамланган қатлам қалинлигини аниқлаш имконини берувчи ва ресурстежамкорлигини таъминловчи технологияларни ишлаб чиқиши имконини беради.
6. Диффузияли борлаш технологияси учунюқори ейилишбардошликка эга бўлган FeB ва Fe₂B темир боридларидан ташкил топган таркиб ишлаб чиқилди. Бу эса кукусимон бор сақловчи аралашманинг янги таркибидан фойдаланиш, пўлат пластиналари юзасида барқарор икки фазали қатламни ҳосил қилишга имкон яратади.
7. Штамп пластиналари учун пўлат 20 материалини қўллаш асосида унинг юзасига диффузияланадиган қатлами 20-25 мкмга таъминланиши аниқланди. Буштамп пластиналарини ишлаб чиқариш шароитига тадбиқ этиш имконини беради.
8. Керамик маҳсулотларни пресслашда технологик факторларга боғлиқ бўлган

ва емирилиш катталиги технологик факторлар орасидаги ўзаро

ФОЙДАЛАНИЛГАН АДАБИЁТЛАР: (REFERENCES)

1. Todjiboyev R.K., Ulmasov A.A., & Muxtorov Sh. (2021). 3M structural bonding tape 9270. Science and Education, 2 (4), 146-149.
2. Toshkoziyeva, Z., & Muxtorov, S. (2022). DESIGN ANALYSIS FOR THE PRODUCTION OF PLATE HANDLES FOR CAR WINDSHIELDS. Journal of Integrated Education and Research, 1(1), 164–172. Retrieved from <https://ojs.rmasav.com/index.php/ojs/article/view/34>
3. Toshkoziyeva, Z., & Muxtorov, S. (2022). ANALYSIS OF THE REQUIREMENTS FOR MODERN HEAT EXCHANGERS AND METHODS OF PROCESS INTENSIFICATION. Journal of Integrated Education and Research, 1(1), 140–149. Retrieved from <https://ojs.rmasav.com/index.php/ojs/article/view/30>
4. Sherzod Sobirjon, O. G. 'Li Muxtorov, & Islombek Ikromjon O'G'Li Qoxxorov (2022). Issiqlik almashuvchi qurulmalar va ularda jarayonni intensivlash usullari tahlili. Science and Education, 3(5), 370-378.
5. Toshqo'ziyeva, Z., & Muxtorov, S. (2022). AVTOMABILLARNI 3M STRUKTURALI ULASH LENTASI BILAN MAXKAMLANUVCHI PLASTINA TUTQICHI KONSTRUksiYALARINI TAXLILI. Journal of Integrated Education and Research, 1(1), 114–125. Retrieved from <https://ojs.rmasav.com/index.php/ojs/article/view/27>
6. Махмудов, А., & Мухторов , Ш. (2022). ВЛИЯНИЕ ИНДИВИДУАЛЬНОГО УВЛАЖНИТЕЛЯ НА ОБРЫВНОСТЬ НИТЕЙ ОСНОВЫ В ПРОЦЕССЕ ТКАЧЕСТВА. Eurasian Journal of Academic Research, 2(13), 884–890. извлечено от <https://www.in-academy.uz/index.php/ejar/article/view/7639>
7. Махмудов, А., & Мухторов , Ш. (2022). ИССЛЕДОВАНИЕ ОСНОВНОГО ПЛАНЕТАРНОГО РЕГУЛЯТОРА. Eurasian Journal of Academic Research, 2(13), 879–883. извлечено от <https://in-academy.uz/index.php/ejar/article/view/7638>
8. Mukhtorov, S. S. ugli, & Rustamova, M. M. (2022). AN ANALYSIS OF THE IMPACT OF CONFIDENCE ON THE RELIABILITY OF EARTHQUAKE DETECTION UNDERGROUND. Educational Research in Universal Sciences, 1(6), 480–487. Retrieved from <http://erus.uz/index.php/er/article/view/813>
9. Mukhtorov, S. S. ugli, & Rustamova, M. M. (2022). IMPROVING THE STRENGTH OF DETAILS BY CHROMING THE SURFACES. Educational Research in Universal Sciences, 1(6), 488–496. Retrieved from <http://erus.uz/index.php/er/article/view/814>
10. Нурматова С. С., & Мухторов Ш. С. (2022). В ПРОЦЕССЕ ПЛЕТЕНИЯ ВЛИЯНИЕ ТОЧНОГО СМАЧИВАНИЯ НА ОБРЫВ СОЕДИНИТЕЛЬНЫХ

НИТЕЙ. Educational Research in Universal Sciences, 1(6), 524–533. Retrieved from <http://erus.uz/index.php/er/article/view/820>

11. Xusanboyev, A., & Muxtorov, S. (2022). NOSOZLIKAR SONINI TAQSIMLASH VA KANALIZATSIYA TARMOQLARI ELEMENTLARINI TIKLASH MUDDATI. Educational Research in Universal Sciences, 1(6), 617–625. Retrieved from <http://erus.uz/index.php/er/article/view/831>

12. Abdullayeva, D., & Muxtorov, S. (2022). SEYSMIK HUDUDLARDA KANALIZATSIYA TARMOQLARINI ISHONCHLILIGINI BAHOLASH. Educational Research in Universal Sciences, 1(6), 514–523. Retrieved from <http://erus.uz/index.php/er/article/view/818>

13. Toshqo‘ziyeva, Z., & Muxtorov, S. (2022). KANALIZATSIYA TARMOQLARI ELEMENTLARINING ISHONCHLILIGI KO‘RSATKICHLARINING SON QIYMATLARINI ANIQLASH. Educational Research in Universal Sciences, 1(6), 609–616. Retrieved from <http://erus.uz/index.php/er/article/view/830>

14. Khusanboyev, A., & Mukhtorov, S. (2022). IMPROVING THE STRENGTH OF DETAILS BY CHROMING THE SURFACES. Educational Research in Universal Sciences, 1(6), 626–634. Retrieved from <http://erus.uz/index.php/er/article/view/832>

15. Бахадиров, Гайрат Атаканович, Эргашев, Илхомжон Олимжонович, Цой, Герасим Николаевич, & Набиев, Айдер Мустафаевич (2022). УСТРОЙСТВО ДЛЯ ОПРЕДЕЛЕНИЯ СИЛЫ ВТЯГИВАНИЯ ПЛОСКОГО МАТЕРИАЛА МЕЖДУ РАБОЧИМИ ВАЛКОВЫМИ ПАРАМИ. Nazariy va amaliy tadqiqotlar xalqaro jurnali, 2 (3), 66-73. doi: 10.5281/zen

16. Эргашев, Илхомжон Олимжонович (2022). АРРАЛИ ДЖИН КОЛОСНИКЛАРИ АЛМАШУВЧИ ЭЛЕМЕНТЛАРИНИ КОНСТРУКТИВ ЎЛЧАМЛАРИНИ АСОСЛАШ. Nazariy va amaliy tadqiqotlar xalqaro jurnali, 2 3, 88-97. doi: 10.5281/zenodo.6503659odo.6503605

17. Бахадиров, Г. А., Цой, Г. Н., Набиев, А. М., & Эргашев, И. О. (2022). Экспериментальный Отжим Капиллярно-Пористого Материала На Металлокерамической Опорной Плите. Central Asian Journal of Theoretical and Applied Science, 3(5), 100-109. Retrieved from <https://cajotas.centralasianstudies.org/index.php/CAJOTAS/article/view/499>

18. Fayzimatov Shukhrat Nomonovich, Ergashev Ilhomjon Olimjonovich, & Valikhonov Dostonbek Azim o’g’li. (2022). Effects Of Crushing on Cutting and Cleaning of Surface Facilities in Cutting and Processing of Polymer Materials. Eurasian Research Bulletin, 4, 17–21. Retrieved from <https://www.geniusjournals.org/index.php/erb/article/view/353>

19. Ilhom Olimjonovich Ergashev, Rustam Jaxongir O’G’Li Karimov, Ravshan Xikmatullayevich Karimov, & Salimaxon Sobirovna Nurmatova (2021). KOLOSNIK

- ALMASHINUVCHI MASHINASI ELEMENTI EGILISHINING NAZARIY TADQIQOTLARI. Scientific progress, 2 (7), 83-87.
20. Ergashev Ilhomjon Olimjonovich, & Mahmudov Nasimbek Odilbekovich. (2022). Calculation of Carrier and Interchangeable Element Combination. Eurasian Journal of Engineering and Technology, 5, 68–73. Retrieved from <https://www.geniusjournals.org/index.php/ejet/article/view/1162>
21. Мухаммадиев, Д. М., Ахмедов, Х. А., & Эргашев, И. О. (2020). Расчет перемещений вставки относительно колосник. In Инновационные исследования: теоретические основы и практическое применение (pp. 103-105).
22. Мухаммадиев, Д. М., Ахмедов, Х. А., Эргашев, И. О., Жамолова, Л. Ю., & Мухаммадиев, Т. Д. (2020). Силовой расчет соединений колосника пильного джина со вставкой. Известия высших учебных заведений. Технология текстильной промышленности, (1), 137-143.
23. Sherzod Sobirjon O'G'Li Muxtorov, & Islombek Ikromjon O'G'Li Qoxxorov (2022). Issiqlik almashuvchi qurulmalar va ularda jarayonni intensivlash usullari tahlili. Science and Education, 3 (5), 370-378
24. Toxir Yusupovich Radjabov, Akbar Turg'Unboyevich Ergashev, Ilhomjon Yusufjonovich Mirzaolimov, & Abdulaziz Ikhtiyor Ugli Karshiboev (2022). EXAMPLE OF CALCULATION OF REINFORCED CONCRETE BEAM SPANS FOR TEMPORARY (A-14 and NK-100) AND PERMANENT LOADS. Academic research in educational sciences, 3 (TSTU Conference 1), 908-913.
25. Д. М. Мухаммадиев, Ф. Х. Ибрагимов, О. Х. Абзоиров, & Л. Ю. Жамолова (2022). Расчет устойчивости междупильной прокладки при сжатии. Современные инновации, системы и технологии, 2 (4), 0301-0311. doi: 10.47813/2782-2818-2022-2-4-0301-0311
26. Mukhammadiev, D. M., Akhmedov, K. A., Ergashev, I. O., Zhamolova, L. Y., & Abdugaffarov, K. J. (2021, April). Calculation of the upper beam bending of a saw gin. In Journal of Physics: Conference Series (Vol. 1889, No. 4, p. 042042). IOP Publishing.
27. Мухаммадиев, Д. М., Ахмедов, Х. А., Примов, Б. Х., Эргашев, И. О., Мухаммадиев, Т. Д., & Жамолова, Л. Ю. (2019). Влияние радиуса кривизны лобового бруса и фартука рабочей камеры на показатели пильного джина с набрасывающим барабаном. Известия высших учебных заведений. Технология текстильной промышленности, (5), 105-110.
28. Nodirjon Ibragimovich Otaboyev, Abbosjon Sharofidin Ogli Qosimov, & Xudoyberdi Xasanboy Ogli Xoldorov (2022). AVTOPOEZD TORMOZLANISH JARAYONINI O`RGANISH UCHUN AVTOPOEZD TURINI TANLASH. Scientific progress, 3 (5), 87-92.